

# 数字图像与视频处理 王桥

Copyright © 180776 胡欣毅. All rights reserved.

## 复习提要 Version3

本学期课程主要围绕一些图像处理的原理、Python/C++试验为主进行. 所讲内容并不多. 考试侧重基础知识、基础算法与基础程序设计.

## 细胞功能(补充)

视杆细胞	视锥细胞
亮度(黑白)	色彩(颜色)

## 图像的一般性知识、JPEG/PNG/GIF格式的差异、数据压缩的性能、使用的场景

JPEG	GIF	PNG
有损压缩	无损压缩	无损压缩

### 以下全部百度,仅供参考

- GIF全称Graphic Interchange Format ,图像交换格式,最多可使用256种颜色,适合导航条,按钮,图标等具有统一色调的图像,可以制作动态图像.当网速慢的时候可以将图像从模糊到清晰慢慢显示.
- JPEG全称Joint Photographic Experts Group ,图像压缩模式,可以包含数百万种颜色,文件大小和加载时间很大,不支持透明图和动态图,但能够保留全真的色调版格式,如果图像需要全彩模式才能表现效果,最好使用JPEG.
- PNG格式 全称Portable Network Graphics 提供了将图像文件以最小的方式压缩又不造成图像失真的技术.支持48位的色彩,更快地交错显示,跨平台的图像亮度控制,更多层的透明度设置.

### 1. Gif格式特点

- 透明性: Gif是一种布尔透明类型,既它可以是全透明,也可以是全不透明,但是它并没有半透明(alpha透明).
- 动画: Gif这种格式支持动画.
- 无损耗性: Gif是一种无损耗的图像格式,这也意味着你可以对gif图片做任何操作也不会使 得图像质量产生损耗.
- 水平扫描: Gif是使用了一种叫作LZW的算法进行压缩的,当压缩gif的过程中,像素是由上到下水平压缩的,这也意味着同等条件下,横向的gif图片比竖向的gif图片更加小.例如500-10的图片比10-500的图片更加小
- 间隔渐进显示: Gif支持可选择性的间隔渐进显示

由以上特点看出只有256种颜色的gif图片不适合照片,但它适合对颜色要求不高的图形(比如说图标,图表等),它并不是最优的选择,我们会在后面中看到png是最优的选择.

### 2. jpeg格式特点

- 透明性: 它并不支持透明.

- 动画: 它也不支持动画.
- 损耗性: 除了一些比如说旋转(仅仅是90、180、270度旋转),裁切,从标准类型到先进类型,编辑图片的原数据之外,所有其它操作对jpeg图像的处理都会使得它的质量损失.所以我们在编辑过程一般用png作为过渡格式.
- 隔行渐进显示: 它支持隔行渐进显示(但是ie浏览器并不支持这个属性,但是ie会在整个图像信息完全到达的时候显示).

由上可以看出Jpeg是最适web上面的摄影图片和数字照相机中.

### 3. Png格式特点

- 类型: Png这种图片格式包括了许多子类,但是在实践中大致可以分为256色的png和全色的png,你完成可以用256色的png代替gif,用全色的png代替jpeg
- 透明性: Png是完全支持alpha透明的(透明,半透明,不透明),尽管有两个怪异的现象在ie6(下面详细讨论)
- 动画: 它不支持动画
- 无损性: png是一种无损的图像格式,这也意味着你可以对png图片做任何操作也不会使得图像质量产生损耗.这也使得png可以作为jpeg编辑的过渡格式
- 水平扫描: 像GIF一样,png也是水平扫描的,这意味着水平重复颜色比垂直重复颜色的图片更小
- 间隔渐进显示: 它支持间隔渐进显示,但是会造成图片大小变得更大

### 4. 其它图片格式与PNG比较

众所周知GIF适合图形,JPEG适合照片,PNG系列两种都适合.

- 相比GIF
  - PNG 8除了不支持动画外,PNG8有GIF所有的特点,但是比GIF更加具有优势的是它支持alpha透明和更优的压缩.所以,大多数情况下,你都应该用PNG8不是GIF(除了非常小的图片GIF会有更好的压缩外).
- 相比JPEG
  - JPEG比全色PNG具有更加好的压缩,因此也使得JPEG适合照片,但是编辑JPEG过程中容易造成质量的损失,所以全色PNG适合作为编辑JPEG的过渡格式.

## 图像格式的基本常识、像素级检索的编程基础(矩阵)

RGB:(row,col,3) Gray:(row,col)

彩图灰度图转化:  $Gray = R \times 0.299 + G \times 0.587 + B \times 0.114$

```
def rgb2gray(rgb):
    return np.dot(rgb[...,:3], [0.299, 0.587, 0.114])
```

像素级操作的时候,索引[y,x] ([行值,列值])

## 图像质量评价(补充)

精确的原始图像 $f(x, y)$ ,从它的相关数据D(D可以是f的模糊版本),得到估计图像 $\tilde{f}(m, n)$

均方误差

$$MSE = \frac{1}{MN} \sum_{m=1}^M \sum_{n=1}^N |\tilde{f}(m, n) - f(m, n)|^2$$

峰值信噪比

$$\text{PSNR} = 10 \lg \frac{255^2}{\text{MSE}} \quad (\text{dB})$$

## 图像边缘检测的算法基础、一阶微分算子型与二阶微分算子型边缘检测算法的优劣对比、数据驱动的边缘检测算法,对应的程序设计

### 一阶算子(差分值较大的区域为边缘)

对 $|R_x f| + |R_y f|$ 取阈值判决,人工调阈值参数

- Roberts 交叉梯度算子

$$\begin{bmatrix} 1 & 0 \\ 0 & -1 \end{bmatrix} \quad \begin{bmatrix} 0 & -1 \\ 1 & 0 \end{bmatrix}$$

- Prewitt 算子

$$\begin{bmatrix} -1 & -1 & -1 \\ 0 & 0 & 0 \\ 1 & 1 & 1 \end{bmatrix} \quad \begin{bmatrix} -1 & 0 & 1 \\ -1 & 0 & 1 \\ -1 & 0 & 1 \end{bmatrix}$$

- Sobel算子

$$\begin{bmatrix} -1 & -2 & -1 \\ 0 & 0 & 0 \\ 1 & 2 & 1 \end{bmatrix} \quad \begin{bmatrix} -1 & 0 & 1 \\ -2 & 0 & 2 \\ -1 & 0 & 1 \end{bmatrix}$$

```
grad_x = cv2.filter2D(gray, -1, Ker_x)
grad_y = cv2.filter2D(gray, -1, Ker_y)
grad = abs(grad_x) + abs(grad_y)
# 调阈值
grad = (grad > 100) * 255
plt.imshow(grad, cmap='gray')
```

### 二阶算子(二阶差分的跨零点为边缘)

原则上不需要取阈值,跨零点即边界.但是我自己编程用二阶差分较大的地方(二阶差分极大极小)近似代替跨零点,所以代码里面也有阈值需要调整.

- Laplace算子  $\Delta f = \frac{\partial^2 f}{\partial x^2} + \frac{\partial^2 f}{\partial y^2}$

$$\frac{\partial^2 f}{\partial x^2} \rightarrow f(i+1, j) - 2f(i, j) + f(i-1, j)$$

$$\frac{\partial^2 f}{\partial y^2} \rightarrow f(i, j+1) - 2f(i, j) + f(i, j-1)$$

所以得到第一个模板,第二、三为拓展模板

$$\begin{bmatrix} 0 & 1 & 0 \\ 1 & -4 & 1 \\ 0 & 1 & 0 \end{bmatrix} \quad \begin{bmatrix} 1 & 1 & 1 \\ 1 & -8 & 1 \\ 1 & 1 & 1 \end{bmatrix} \quad \begin{bmatrix} 1 & 4 & 1 \\ 4 & -20 & 4 \\ 1 & 4 & 1 \end{bmatrix}$$

- LOG算子(带噪声的图像边沿检测)

$$\begin{bmatrix} 0 & 0 & 1 & 0 & 0 \\ 0 & 1 & 2 & 1 & 0 \\ 1 & 2 & -16 & 2 & 1 \\ 0 & 1 & 2 & 1 & 0 \\ 0 & 0 & 1 & 0 & 0 \end{bmatrix}$$

$$LOG(f)(x, y) = \Delta(G_\sigma * f) = (\Delta G_\sigma) * f \text{ (微分、卷积算子次序可换)}$$

$$G_\sigma(x, y) = \frac{1}{2\pi\sigma^2} \exp\left[-\frac{x^2 + y^2}{2\sigma^2}\right]$$

$$\Delta G_\sigma = \frac{x^2 + y^2 - 2\sigma^2}{2\pi\sigma^6} \exp\left[-\frac{x^2 + y^2}{2\sigma^2}\right]$$

证明:

$$G_\sigma(x, y) = \frac{1}{2\pi\sigma^2} \exp\left[-\frac{x^2 + y^2}{2\sigma^2}\right]$$

$$\frac{\partial G_\sigma}{\partial x} = \frac{1}{2\pi\sigma^2} \exp\left[-\frac{x^2 + y^2}{2\sigma^2}\right] \left(-\frac{x}{\sigma^2}\right)$$

$$\frac{\partial^2 G_\sigma}{\partial x^2} = \frac{1}{2\pi\sigma^2} \exp\left[-\frac{x^2 + y^2}{2\sigma^2}\right] \left(\frac{x^2}{\sigma^4} - \frac{1}{\sigma^2}\right)$$

$$\frac{\partial^2 G_\sigma}{\partial y^2} = \frac{1}{2\pi\sigma^2} \exp\left[-\frac{x^2 + y^2}{2\sigma^2}\right] \left(\frac{y^2}{\sigma^4} - \frac{1}{\sigma^2}\right)$$

$$\Delta G_\sigma = \frac{1}{2\pi\sigma^2} \exp\left[-\frac{x^2 + y^2}{2\sigma^2}\right] \left(\frac{x^2 + y^2}{\sigma^4} - \frac{2}{\sigma^2}\right)$$

$$= \frac{x^2 + y^2 - 2\sigma^2}{2\pi\sigma^6} \exp\left[-\frac{x^2 + y^2}{2\sigma^2}\right]$$

注意,  $\Delta G_\sigma(x, y)$  是一个小波, 即:  $\int_{-\infty}^{+\infty} \int_{-\infty}^{+\infty} \Delta G_\sigma(x, y) dx dy = 0$

证明:

$$\int_{-\infty}^{+\infty} \int_{-\infty}^{+\infty} \Delta G_\sigma(x, y) dx dy$$

$$= \int_{-\infty}^{+\infty} \int_{-\infty}^{+\infty} \frac{x^2 + y^2 - 2\sigma^2}{2\pi\sigma^6} \exp\left[-\frac{x^2 + y^2}{2\sigma^2}\right] dx dy$$

$$= \int_0^{2\pi} \int_0^{+\infty} \frac{r^2 - 2\sigma^2}{2\pi\sigma^6} \exp\left[-\frac{r^2}{2\sigma^2}\right] r dr d\theta$$

$$= \frac{1}{2\pi\sigma^6} \int_0^{2\pi} d\theta \int_0^{+\infty} (r^3 - 2\sigma^2 r) \exp\left[-\frac{r^2}{2\sigma^2}\right] dr$$

$$= \frac{1}{\sigma^6} \int_0^{+\infty} (r^3 - 2\sigma^2 r) \exp\left[-\frac{r^2}{2\sigma^2}\right] dr$$

$$= \frac{-\sigma^2}{\sigma^6} \left[ (r^2 - 2\sigma^2) \exp\left[-\frac{r^2}{2\sigma^2}\right] \right]_0^{+\infty} - \int_0^{+\infty} \exp\left[-\frac{r^2}{2\sigma^2}\right] dr^2$$

$$= \frac{-1}{\sigma^4} \left[ 2\sigma^2 + 2\sigma^2 \exp\left[-\frac{r^2}{2\sigma^2}\right] \right]_0^{+\infty}$$

$$= \frac{-1}{\sigma^4} [2\sigma^2 - 2\sigma^2] = 0$$

```

laplace = np.array([[1, 1, 1],
                    [1,-8, 1],
                    [1, 1, 1]])
grad = cv2.filter2D(gray, -1, laplace)
# 取二阶导数较大的点替代二阶导数接近 0 的位置
grad = (np.abs(grad) > 90) * 255
plt.imshow(grad, cmap='gray')

```

## 数据驱动算法

- Canny

与二阶差分方法的区别(这里=0代表跨零点)

Canny	二阶算子Laplace	二阶算子LOG
$\frac{\partial^2}{\partial n^2}(G_\sigma * f) = 0$	$\Delta f = \frac{\partial^2}{\partial n^2} f + \frac{\partial^2}{\partial s^2} f = 0$	$\Delta(G_\sigma * f) = \frac{\partial^2}{\partial n^2}(G_\sigma * f) + \frac{\partial^2}{\partial s^2}(G_\sigma * f) = 0$

蕴含一个旋转不变性(各向同性)

当退化为离散形式时,该算子最多只能保证45度旋转的无关性

(Def 旋转不变性): Laplace算子是各向同性的,即假定 $(x', y')$ 是 $(x, y)$ 的旋转,则:

$$\Delta = \frac{\partial^2}{\partial x'^2} + \frac{\partial^2}{\partial y'^2} = \frac{\partial^2}{\partial x^2} + \frac{\partial^2}{\partial y^2}$$

证明:

$$\begin{bmatrix} x \\ y \end{bmatrix} = \begin{bmatrix} \cos \theta & -\sin \theta \\ \sin \theta & \cos \theta \end{bmatrix} \begin{bmatrix} x' \\ y' \end{bmatrix}$$

$$x = x' \cos \theta - y' \sin \theta$$

$$y = x' \sin \theta + y' \cos \theta$$

$$\begin{aligned}
\nabla^2 f &= \frac{\partial^2 f}{\partial x'^2} + \frac{\partial^2 f}{\partial y'^2} \\
&= \frac{\partial}{\partial x'} \left( \frac{\partial f}{\partial x'} \right) + \frac{\partial}{\partial y'} \left( \frac{\partial f}{\partial y'} \right) \\
&= \frac{\partial}{\partial x'} \left( \frac{\partial f}{\partial x} \frac{\partial x}{\partial x'} + \frac{\partial f}{\partial y} \frac{\partial y}{\partial x'} \right) + \frac{\partial}{\partial y'} \left( \frac{\partial f}{\partial x} \frac{\partial x}{\partial y'} + \frac{\partial f}{\partial y} \frac{\partial y}{\partial y'} \right) \\
&= \frac{\partial}{\partial x'} \left( \frac{\partial f}{\partial x} \cos \theta + \frac{\partial f}{\partial y} \sin \theta \right) + \frac{\partial}{\partial y'} \left( -\sin \theta \frac{\partial f}{\partial x} + \cos \theta \frac{\partial f}{\partial y} \right) \\
&= \frac{\partial}{\partial x} \left( \frac{\partial f}{\partial x} \cos \theta + \frac{\partial f}{\partial y} \sin \theta \right) \frac{\partial x}{\partial x'} + \frac{\partial}{\partial y} \left( \frac{\partial f}{\partial x} \cos \theta + \frac{\partial f}{\partial y} \sin \theta \right) \frac{\partial y}{\partial x'} \\
&\quad + \frac{\partial}{\partial x} \left( -\sin \theta \frac{\partial f}{\partial x} + \cos \theta \frac{\partial f}{\partial y} \right) \frac{\partial x}{\partial y'} + \frac{\partial}{\partial y} \left( -\sin \theta \frac{\partial f}{\partial x} + \cos \theta \frac{\partial f}{\partial y} \right) \frac{\partial y}{\partial y'} \\
&= \frac{\partial}{\partial x} \left( \frac{\partial f}{\partial x} \cos \theta + \frac{\partial f}{\partial y} \sin \theta \right) \cos \theta + \frac{\partial}{\partial y} \left( \frac{\partial f}{\partial x} \cos \theta + \frac{\partial f}{\partial y} \sin \theta \right) \sin \theta \\
&\quad + \frac{\partial}{\partial x} \left( -\sin \theta \frac{\partial f}{\partial x} + \cos \theta \frac{\partial f}{\partial y} \right) (-\sin \theta) + \frac{\partial}{\partial y} \left( -\sin \theta \frac{\partial f}{\partial x} + \cos \theta \frac{\partial f}{\partial y} \right) \cos \theta \\
&= \frac{\partial}{\partial x} \frac{\partial f}{\partial x} + \frac{\partial}{\partial y} \frac{\partial f}{\partial y} = \frac{\partial^2 f}{\partial x^2} + \frac{\partial^2 f}{\partial y^2} = \nabla^2 f
\end{aligned}$$

工程上,对于图像,  $n$  的方向只取4个:  $0, \pi/4, \pi/2, 3\pi/4$

$$\frac{\partial^2}{\partial n^2}(G_\sigma * f) = 0 \Leftrightarrow \frac{\partial}{\partial n}(G_\sigma * f) \text{取极值} \Rightarrow \left| \frac{\partial}{\partial n}(G_\sigma * f) \right| \text{取极大值}$$

编程就先按梯度最大选出法向 $n$ , 再给  $\left| \frac{\partial^2}{\partial n^2}(G_\sigma * f) \right|$  设阈值求边缘.

```
# 自编函数版
def my_canny(src):
    # 高斯低通滤波器
    gass = cv2.GaussianBlur(src, (3,3), 0)
    # canny 核 四个角度 一阶
    ker = np.zeros((3,3,4))
    ker[...,0] = np.array([[0,0,0],
                            [0,-1,1],
                            [0,0,0]])
    ker[...,1] = np.array([[0,0,1],
                            [0,-1,0],
                            [0,0,0]])
    ker[...,2] = np.array([[0,1,0],
                            [0,-1,0],
                            [0,0,0]])
    ker[...,3] = np.array([[1,0,0],
                            [0,-1,0],
                            [0,0,0]])

    # 核 四个角度 二阶
    ker2 = np.zeros((3,3,4))
    ker2[...,0] = np.array([[0, 0,0],
                            [1,-2,1],
                            [0, 0,0]])
    ker2[...,1] = np.array([[0, 0,1],
                            [0,-2,0],
                            [1, 0,0]])
    ker2[...,2] = np.array([[0, 1,0],
                            [0,-2,0],
                            [0, 1,0]])
    ker2[...,3] = np.array([[1, 0,0],
                            [0,-2,0],
                            [0, 0,1]])

    # 四个角度的差分
    d = np.zeros(src.shape + (4,))
    dd = np.zeros(src.shape + (4,))
    for i in range(4):
        d[...,i] = cv2.filter2D(src, -1, ker[...,i])
        dd[...,i] = cv2.filter2D(src, -1, ker2[...,i])

    n_f = np.ones_like(src)
    for row in range(src.shape[0]):
        for col in range(src.shape[1]):
            # 法向
            n = np.where( np.abs(d[row,col,:]) ==\
                          np.max(np.abs(d[row,col,:])) )[0][0]

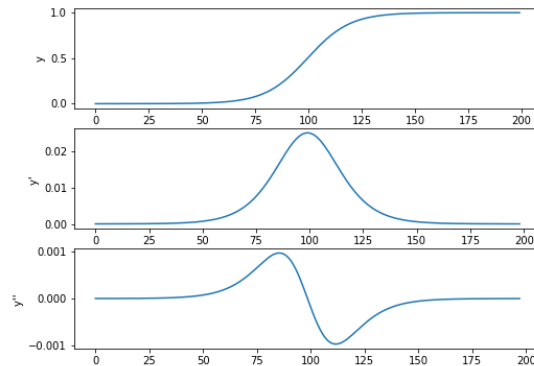
            n_f[row,col] = dd[row,col,n]
    return n_f

canny_out = my_canny(gray)
# 取二阶导数较大的点替代二阶导数接近 0 的位置
canny_out = (canny_out > 25) * 255
```

```
plt.imshow(canny_out,cmap='gray')
```

## 图像增强的Laplace算子方法,程序设计基础

- 一维边缘增强  $res = y' - \lambda y''$



- 二维边缘增强  $u_t(x, y) = u(x, y) - \lambda \Delta u(x, y)$

$\Delta$ 正中间值(这里是-4或-8)的符号与修正的正负号对应,符号反的话就是反向模糊

$$\Delta = \begin{bmatrix} 0 & 1 & 0 \\ 1 & -4 & 1 \\ 0 & 1 & 0 \end{bmatrix} \quad \text{或} \quad \begin{bmatrix} 1 & 1 & 1 \\ 1 & -8 & 1 \\ 1 & 1 & 1 \end{bmatrix}$$

```
Laplace = np.array([[1, 1, 1],
                    [1,-8, 1],
                    [1, 1, 1]])
deta_f = cv2.filter2D(f,-1,Laplace)
labd = .5
re_build = f - (labd * deta_f).astype(int)
plt.imshow(re_build,cmap='gray')
```

## Gabor图像复原第一算法、第二算法的原理与实现(图像各向异性增强)

**Gabor适用的场景: 含噪声的图像增强**

- Laplace增强(法向、切向都增强,用于不含噪的图像增强)

$$f_t(x, y) = f(x, y) - t \left( \frac{\partial^2 f}{\partial n^2} + \frac{\partial^2 f}{\partial s^2} \right)$$

- 第一算法(法向增强)

$$f_t(x, y) = f(x, y) - t \frac{\partial^2 f}{\partial n^2}$$

编程取  $\left| \frac{\partial}{\partial n} f \right|$  最大值的方向为法向 $n$ ,切向 $s$ 为 $n + \pi/2$ .

```
def gabor1(src,t):
    # 核 四个角度 一阶
    ker = np.zeros((3,3,4))
```

```

ker[...,0] = np.array([[0,0,0],
                      [0,-1,1],
                      [0,0,0]])
ker[...,1] = np.array([[0,0,1],
                      [0,-1,0],
                      [0,0,0]])
ker[...,2] = np.array([[0,1,0],
                      [0,-1,0],
                      [0,0,0]])
ker[...,3] = np.array([[1,0,0],
                      [0,-1,0],
                      [0,0,0]])

# 核 四个角度 二阶
ker2 = np.zeros((3,3,4))
ker2[...,0] = np.array([[0, 0,0],
                      [1,-2,1],
                      [0, 0,0]])
ker2[...,1] = np.array([[0, 0,1],
                      [0,-2,0],
                      [1, 0,0]])
ker2[...,2] = np.array([[0, 1,0],
                      [0,-2,0],
                      [0, 1,0]])
ker2[...,3] = np.array([[1, 0,0],
                      [0,-2,0],
                      [0, 0,1]])

# 四个角度的差分
d = np.zeros(src.shape +(4,))
dd = np.zeros(src.shape +(4,))
for i in range(4):
    d[...,i] = cv2.filter2D(src, -1 , ker[...,i])
    dd[...,i] = cv2.filter2D(src, -1 , ker2[...,i])

n_f = np.ones_like(src)
for row in range(src.shape[0]):
    for col in range(src.shape[1]):
        # 法向
        n = np.where( np.abs(d[row,col,:]) ==\
                      np.max(np.abs(d[row,col,:]) ))[0][0]

        n_f[row,col] = dd[row,col,n]
return src - t * n_f

gabor = gabor1(gray,0.5)

```

- 第二算法(法向增强[-],切向平滑[+])

$$f_t(x,y) = f(x,y) - t\left(\frac{\partial^2 f}{\partial n^2} - \frac{1}{3} \frac{\partial^2 f}{\partial s^2}\right) = f(x,y) - t \frac{\partial^2 f}{\partial n^2} + \frac{t}{3} \frac{\partial^2 f}{\partial s^2}$$

```

def gabor2(src,t):
    # 核 四个角度 一阶
    ker = np.zeros((3,3,4))
    ker[...,0] = np.array([[0,0,0],
                          [0,-1,1],
                          [0,0,0]])

```



```

ker[...,1] = np.array([[0,0,1],
                      [0,-1,0],
                      [0,0,0]])
ker[...,2] = np.array([[0,1,0],
                      [0,-1,0],
                      [0,0,0]])
ker[...,3] = np.array([[1,0,0],
                      [0,-1,0],
                      [0,0,0]])

# 核 四个角度 二阶
ker2 = np.zeros((3,3,4))
ker2[...,0] = np.array([[0, 0,0],
                      [1,-2,1],
                      [0, 0,0]])
ker2[...,1] = np.array([[0, 0,1],
                      [0,-2,0],
                      [1, 0,0]])
ker2[...,2] = np.array([[0, 1,0],
                      [0,-2,0],
                      [0, 1,0]])
ker2[...,3] = np.array([[1, 0,0],
                      [0,-2,0],
                      [0, 0,1]])

# 四个角度的差分
d = np.zeros(src.shape + (4,))
dd = np.zeros(src.shape + (4,))
for i in range(4):
    d[...,i] = cv2.filter2D(src, -1, ker[...,i])
    dd[...,i] = cv2.filter2D(src, -1, ker2[...,i])

n_f = np.ones_like(src)
s_f = np.ones_like(src)
for row in range(src.shape[0]):
    for col in range(src.shape[1]):
        # 法向
        n = np.where( np.abs(d[row,col,:]) ==\
                      np.max(np.abs(d[row,col,:])) )[0][0]
        # 切向
        s = (n+2)%4
        n_f[row,col] = dd[row,col,n]
        s_f[row,col] = dd[row,col,s]
    return src - t * (n_f - s_f / 3 )

gabor = gabor2(gray,0.5)

```

## Malik-Perona算法的原理与实现

PM针对图像的边缘部分和非边缘部分进行不同性质的处理 图像边缘内部区域,c远离0,图像可以平滑;边缘附近,c接近0,图像不再平滑

$$\text{径向函数} : g(s) = \exp \left[ -\left( \frac{s}{K} \right)^2 \right] \text{ 或 } g(s) = \frac{1}{1 + \left( \frac{s}{K} \right)^{1+\alpha}}, \alpha > 0 (g : \text{单调下降})$$

$$\text{扩散函数} : c(x, y, t) = g(|\nabla u|)$$

$$u(x, y, t) = u(x, y, 0) + t \frac{\partial u}{\partial t} (\text{泰勒展开})$$

$$\frac{\partial u}{\partial t} = \Delta u (\text{热传导方程})$$

$$\frac{\partial u}{\partial t} = \nabla \cdot (c(x, y, t) \nabla u) = \nabla c(x, y, t) \cdot \nabla u + c(x, y, t) \Delta u$$

- 简化代码(根据微分运算符 $\nabla$ 和Laplace运算符 $\Delta$ 进行拆解)

```
def g(s,k):
    return np.exp(-(s/k)**2)
def get_c(grad_u,k):
    return g(abs(grad_u),k)

def PM1(src ,k = 12,lambd = .01 ):

    ker_x = np.array([[ -1, 0, 1],
                      [ -1, 0, 1],
                      [ -1, 0, 1]])
    ker_y = np.array([[ 1, 1, 1],
                      [ 0, 0, 0],
                      [-1,-1,-1]])

    # Laplace扩展算子
    laplace = np.array([[ 1, 1, 1],
                        [ 1,-8, 1],
                        [ 1, 1, 1]])

    # grad_u
    grad_x = cv2.filter2D(src, -1 , ker_x )
    grad_y = cv2.filter2D(src, -1 , ker_y )
    grad_u = np.abs(grad_x) + np.abs(grad_y)
    # c
    c = get_c(grad_u,k = k)
    # grad_c
    grad_x_c = cv2.filter2D(src, -1 , ker_x )
    grad_y_c = cv2.filter2D(src, -1 , ker_y )
    grad_c = np.abs(grad_x_c) + np.abs(grad_y_c)
    # Laplace_u
    Laplace_u = cv2.filter2D(src, -1 , laplace )
    #
    im_out = (src + lambd*(grad_c * grad_u + c* Laplace_u ) )
    return im_out

# 迭代次数
step_num = 1
# copy
im_out1 = gray.astype(float)
for t in range(step_num):
    im_out1 = PM1( im_out1, k = 12,lambd = .002)
```

- 按书上逻辑代码(5个点(5个u)、涉及9个值的运算)

$$\begin{aligned} u(x, y, t_{n+1}) &\approx u(x, y, t_n) + \delta t \nabla \cdot (c(x, y, t_n) \nabla u(x, y, t_n)) \\ &= u(x, y, t_n) + \delta t [\nabla c(x, y, t_n) \cdot \nabla u(x, y, t_n) + c(x, y, t_n) \Delta u(x, y, t_n)] \\ &= u(x, y, t_n) + \delta t [I_1^n + I_2^n] \end{aligned}$$

$$I_1^n + I_2^n = \frac{1}{2} \left[ c_{i+1,j}^n \nabla_S u_{i,j}^n + c_{i,j+1}^n \nabla_E u_{i,j}^n + c_{i-1,j}^n \nabla_N u_{i,j}^n + c_{i,j-1}^n \nabla_W u_{i,j}^n \right]$$

$$\nabla_S u_{i,j}^n = u_{i+1,j}^n - u_{i,j}^n$$

$$\nabla_E u_{i,j}^n = u_{i,j+1}^n - u_{i,j}^n$$

$$\nabla_N u_{i,j}^n = u_{i-1,j}^n - u_{i,j}^n$$

$$\nabla_W u_{i,j}^n = u_{i,j-1}^n - u_{i,j}^n$$

$$u_{i,j}^{n+1} = u_{i,j}^n + \lambda \left[ c_{i+1,j}^n \nabla_S u_{i,j}^n + c_{i,j+1}^n \nabla_E u_{i,j}^n + c_{i-1,j}^n \nabla_N u_{i,j}^n + c_{i,j-1}^n \nabla_W u_{i,j}^n \right] \quad (\text{代码根据这句})$$

```
def g(s,k):
    return np.exp(-(s/k)**2)
def f(s,k):
    return 1.0 / (1.0 + (s / k) ** 2)

def Perona_Malik(src , times =30,dt=.01 ,kappa =12, option = 1 ):
    ny,nx = src.shape
    src = src.astype('float')
    # copy
    res = src
    tmp = src
    # 迭代次数
    for t in range(times):
        # 一次迭代
        for i in range(ny):
            for j in range(nx):
                # 位置信息 边界处理
                iUp = max(0,i - 1)
                iDown = min(ny-1,i + 1)
                jLeft = max(0,j - 1)
                jRight = min(nx-1,j + 1)

                # 书本page216 先计算 deta_u
                deltaN = tmp[iUp,j] - tmp[i,j]
                deltaS = tmp[iDown,j] - tmp[i,j]
                deltaE = tmp[i,jRight] - tmp[i,j]
                deltaW = tmp[i,jLeft] - tmp[i,j]
                delta_u = np.array([deltaN , deltaS , deltaE , deltaW ])

                # 计算 c
                if (option == 1):
                    c = g(np.abs(delta_u),kappa)
                elif (option == 2):
                    c = f(np.abs(delta_u),kappa)
                # 相乘相加 加权赋值
                res[i,j] += dt * (sum(c * delta_u) )
        tmp = res
    return res
```

## 卷积信号估计(补充)

从  $g(x) = f(x) * h(x)$  中得到  $f(x)$  的估计  $\tilde{f}$ , 即:  $\min_{\tilde{f}} \|\widetilde{f(x)} - f(x)\|$

$$\hat{g} = \hat{f} \times \hat{h} \implies \hat{g} \times \hat{h}^* = \hat{f}(\hat{h} \times \hat{h}^*) \xrightarrow{\text{引入 } \lambda \text{ 调整分母}} \hat{f} = \frac{\hat{g} \times \hat{h}^*}{\hat{h} \times \hat{h}^* + \lambda}$$

$$f \text{ 的估计 } \tilde{f} = \mathcal{F}^{-1}(\hat{f})$$

## 图像矫正(补充)

dst:(x,y) , src:(u,v) [对于dst的点,去src找源点像素对应]

### 仿射变换

$$\begin{bmatrix} x \\ y \\ 1 \end{bmatrix} = M \begin{bmatrix} u \\ v \\ 1 \end{bmatrix} \quad M^{-1} \begin{bmatrix} x \\ y \\ 1 \end{bmatrix} = \begin{bmatrix} u \\ v \\ 1 \end{bmatrix}$$

### 透视变换

$$(x, y) = \left( \frac{M_{11}u + M_{12}v + M_{13}}{M_{31}u + M_{32}v + M_{33}}, \frac{M_{21}u + M_{22}v + M_{23}}{M_{31}u + M_{32}v + M_{33}} \right)$$

$$x = \frac{M_{11}u + M_{12}v + M_{13}}{M_{31}u + M_{32}v + M_{33}} = \frac{\alpha T}{\gamma T} \quad y = \frac{M_{21}u + M_{22}v + M_{23}}{M_{31}u + M_{32}v + M_{33}} = \frac{\beta T}{\gamma T}$$

$$\text{求解: } \begin{bmatrix} \alpha - x \times \gamma \\ \beta - y \times \gamma \end{bmatrix} T = 0$$

$$\text{其中 } M = \begin{bmatrix} \alpha \\ \beta \\ \gamma \end{bmatrix} \quad T = \begin{bmatrix} u \\ v \\ 1 \end{bmatrix}$$

### 透视变换(改进)

$$\begin{bmatrix} x' \\ y' \\ w \end{bmatrix} = M \begin{bmatrix} u \\ v \\ 1 \end{bmatrix} \quad \frac{1}{w} \begin{bmatrix} x' \\ y' \\ w \end{bmatrix} = \begin{bmatrix} x \\ y \\ 1 \end{bmatrix} = \frac{1}{w} M \begin{bmatrix} u \\ v \\ 1 \end{bmatrix}$$

$$M^{-1} \begin{bmatrix} x \\ y \\ 1 \end{bmatrix} = \begin{bmatrix} u' \\ v' \\ t' \end{bmatrix} = \frac{1}{w} \begin{bmatrix} u \\ v \\ 1 \end{bmatrix} \quad \begin{bmatrix} u \\ v \end{bmatrix} = \begin{bmatrix} u'/t' \\ v'/t' \end{bmatrix} \quad (t' = \frac{1}{w})$$

## 微局部分析(补充)

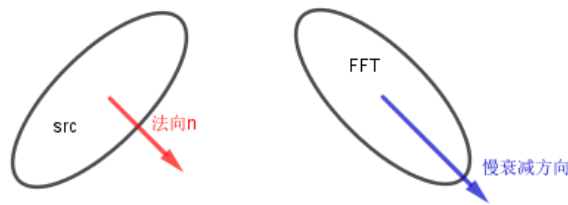
要获得图像 $f(x, y)$ 在 $(a, b)$ 附近的信息. 先在空间域做局部化处理, 找一个窗函数 $h(x, y)$ , 使其窗口中心落在 $(0, 0)$ , 用这个窗函数对图像做局部化

$$f(x, y)h(x - a, y - b)$$

对局部化的图像做Fourier变换, 计算:

$$F_h(a, b; \omega, \eta) = \int_{-\infty}^{+\infty} \int_{-\infty}^{+\infty} f(x, y)h(x - a, y - b)e^{-j(x\omega + y\eta)} dx dy$$

以幅度谱图的原点为中心, 沿各个方向判断, 哪个方向上Fourier变换的幅度衰减较慢: 慢衰减的方向实际就是原图中边缘曲线的法向. == (与FFT变换的模值梯度与图像(二维函数值)的梯度方向相垂直 == 对应理解)



微局部分析算法: 对图像  $f(x, y)$  在任意指定的位置  $(a, b)$ , 寻找其变化剧烈的方向.

- 利用窗函数  $h(x, y)$  对图像做局部化.
- 对局部化图像  $f(x, y)h(x - a, y - b)$  做 Fourier 变换, 算出  $F(a, b; w, \eta)$ .
- 在  $(w, \eta)$  平面上以  $(0, 0)$  为中心, 检查  $|F(a, b; w, \eta)|$  是否沿某个方向慢衰减. 把所有的慢衰减方向  $\theta_1, \theta_2, \dots, \theta_K$  找到, 这些就是图像在点  $(a, b)$  位置的奇异性传播方向.

结论:

- 边缘越清晰的图, 其对应的局部 Fourier 变换衰减越慢
- 边缘越模糊的图, 其对应的局部 Fourier 变换衰减越快, 以至于难以判断出边缘的方向信息.

## 二元 Gauss 函数的调控(伸缩、旋转)及其 Fourier 变换(微局部的滤波函数)

### 图像 FFT

相位重构: 相位信息在图像认知中起主导作用

FFT 变换的模值梯度与图像(二维函数值)的梯度方向相垂直

### 二元 Gauss 函数的调控

$$x \sim N(0, \sigma_1^2) \quad y \sim N(0, \sigma_2^2) \quad \begin{pmatrix} x \\ y \end{pmatrix} \sim N\left(\begin{pmatrix} 0 \\ 0 \end{pmatrix}, \Sigma\right)$$

$$g_{\sigma_x, \sigma_y}(x, y) = \frac{1}{2\pi|\Sigma|^{\frac{1}{2}}} \exp\left(-\frac{\begin{pmatrix} x & y \end{pmatrix} \Sigma^{-1} \begin{pmatrix} x \\ y \end{pmatrix}}{2}\right)$$

$$\Sigma = \begin{bmatrix} E(x - \mu_x)^2 & E(x - \mu_x)(y - \mu_y) \\ E(x - \mu_x)(y - \mu_y) & E(y - \mu_y)^2 \end{bmatrix} = \begin{bmatrix} \sigma_1^2 & \rho\sigma_1\sigma_2 \\ \rho\sigma_1\sigma_2 & \sigma_2^2 \end{bmatrix}$$

$$\rho = \frac{E(x - \mu_x)(y - \mu_y)}{\sqrt{E(x - \mu_x)^2 E(y - \mu_y)^2}} \quad , \quad |\rho| \leq 1$$

$$\begin{aligned} g(x, y) &= \frac{1}{(2\pi\sigma_1\sigma_2\sqrt{1-\rho^2})} \exp\left[-\frac{1}{2(1-\rho^2)}\left(\frac{(x-\mu_1)^2}{\sigma_1^2} - \frac{2\rho(x-\mu_1)(y-\mu_2)}{\sigma_1\sigma_2} + \frac{(y-\mu_2)^2}{\sigma_2^2}\right)\right] \\ &= \frac{1}{(2\pi\sigma_1\sigma_2\sqrt{1-\rho^2})} \exp\left[-\frac{(\sigma_2^2(x-\mu_1)^2 - 2\sigma_1\sigma_2\rho(x-\mu_1)(y-\mu_2) + \sigma_1^2(y-\mu_2)^2)}{2(1-\rho^2)\sigma_1^2\sigma_2^2}\right] \end{aligned}$$

二阶矩阵的逆：
$$\begin{bmatrix} a & b \\ c & d \end{bmatrix}^{-1} = \frac{1}{ad-bc} \begin{bmatrix} d & -b \\ -c & a \end{bmatrix}$$

$$\Sigma^{-1} = \begin{bmatrix} \sigma_1^2 & \rho\sigma_1\sigma_2 \\ \rho\sigma_1\sigma_2 & \sigma_2^2 \end{bmatrix}^{-1} = \frac{1}{(1-\rho^2)\sigma_1^2\sigma_2^2} \begin{bmatrix} \sigma_2^2 & -\rho\sigma_1\sigma_2 \\ -\rho\sigma_1\sigma_2 & \sigma_1^2 \end{bmatrix}$$

- **伸缩**  $\sigma_1, \sigma_2$  大小值代表椭圆的形状,差距越大,椭圆越扁

- **空间旋转**

```
def rotate(image, angle, center=None, scale=1.0):
    ## h,w 尺寸
    (h, w) = image.shape[:2]
    if center is None:
        center = (w // 2, h // 2)

    M = cv2.getRotationMatrix2D(center, angle, scale)
    # print(M) ## 旋转阵 + 旋转中心
    # 旋转
    rotated = cv2.warpAffine(image, M, (w, h))
    return rotated
```

$$A(\Sigma^{-1}) = \begin{bmatrix} a & c \\ c & b \end{bmatrix}$$

A的二次型为  $L(x, y) = ax^2 + by^2 + 2cxy$

$$\begin{bmatrix} x' \\ y' \end{bmatrix} = \begin{bmatrix} \cos \theta & \sin \theta \\ -\sin \theta & \cos \theta \end{bmatrix} \begin{bmatrix} x \\ y \end{bmatrix} \quad (\text{负角表示逆时针旋转})$$

我们用的是这个,  $(x, y)$  旋转到  $(x', y')$

$$\begin{bmatrix} x \\ y \end{bmatrix} = \begin{bmatrix} \cos \theta & -\sin \theta \\ \sin \theta & \cos \theta \end{bmatrix} \begin{bmatrix} x' \\ y' \end{bmatrix} \quad (\text{正角表示逆时针旋转})$$

$$L(x', y') = a(x' \cos \theta - y' \sin \theta)^2 + b(x' \sin \theta + y' \cos \theta)^2 + 2c(x' \cos \theta - y' \sin \theta)(x' \sin \theta + y' \cos \theta)$$

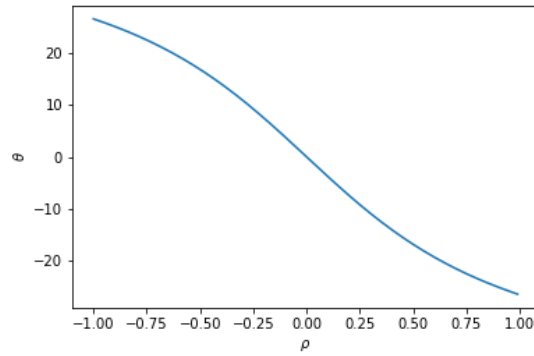
交叉项

$$\begin{aligned} & -2a \cos \theta \sin \theta + 2b \sin \theta \cos \theta + 2c \cos^2 \theta - 2c \sin^2 \theta \\ & = -a \sin 2\theta + b \sin 2\theta + 2c \cos 2\theta \end{aligned}$$

让  $L(x', y')$  没有交叉项, 得到

$$-a \sin 2\theta + b \sin 2\theta + 2c \cos 2\theta = 0 \Rightarrow \tan 2\theta = \frac{2c}{a-b} = \frac{2\rho\sigma_1\sigma_2}{\sigma_1^2 - \sigma_2^2}, \quad a \neq b$$

$$\theta = \begin{cases} \frac{1}{2} \arctan\left(\frac{2\rho\sigma_1\sigma_2}{\sigma_1^2 - \sigma_2^2}\right) & \text{if } a \neq b \\ \frac{\pi}{4} & \text{if } a = b \end{cases}$$



$\rho$	$-1 \rightarrow +1$
$\theta$	$+ \rightarrow -$
图	顺时针 $\rightarrow$ 逆时针

### • Gabor

$$\int_{-\infty}^{+\infty} \exp[-ax^2] \exp[-2\pi i x \xi] dx = \sqrt{\frac{\pi}{a}} \exp\left[-\frac{\pi^2}{a} \xi^2\right]$$

证明:

$$\begin{aligned}
 & \int_{-\infty}^{+\infty} \exp[-ax^2] \exp[-2\pi i x \xi] dx \\
 &= \int_{-\infty}^{+\infty} \exp[-ax^2 - 2\pi i x \xi] dx \\
 &= \int_{-\infty}^{+\infty} \exp\left[-a\left(x^2 + \frac{2\pi i \xi}{a} x\right)\right] dx \\
 &= \int_{-\infty}^{+\infty} \exp\left[-a\left(x + \frac{\pi i \xi}{a}\right)^2\right] \exp\left[a \frac{\pi^2 i^2}{a^2} \xi^2\right] dx \\
 &= \exp\left[-\frac{\pi^2}{a} \xi^2\right] \int_{-\infty + \frac{\pi i \xi}{a}}^{+\infty + \frac{\pi i \xi}{a}} \exp[-ax^2] dx \\
 &= \exp\left[-\frac{\pi^2}{a} \xi^2\right] \int_{-\infty}^{+\infty} \exp[-ax^2] dx \text{ (插一步见下面)} \\
 &= \sqrt{\frac{\pi}{a}} \exp\left[-\frac{\pi^2}{a} \xi^2\right]
 \end{aligned}$$

补:求  $I = \int_{-\infty}^{+\infty} e^{-ax^2} dx$

方法一(二元积分):

$$\begin{aligned}
 I^2 &= \int_{-\infty}^{+\infty} \int_{-\infty}^{+\infty} e^{-a(x^2+y^2)} dx dy \\
 &= \int_0^{2\pi} d\theta \int_0^{+\infty} e^{-a\rho^2} \rho d\rho \\
 &= \frac{-\pi}{a} \int_0^{+\infty} e^{-a\rho^2} d(-a\rho^2) \\
 &= \frac{-\pi}{a} e^{-a\rho^2} \Big|_0^{+\infty} = \frac{\pi}{a}
 \end{aligned}$$

方法二(正太分布概率密度):

$$\frac{1}{\sqrt{2\pi}\sigma} \int_R e^{-\frac{x^2}{2\sigma^2}} dx = 1$$

$$\Rightarrow I = \int_R e^{-\frac{x^2}{2\sigma^2}} dx = \sqrt{2\pi}\sigma \left( \frac{1}{2\sigma^2} = a, \sigma = \sqrt{\frac{1}{2a}} \right)$$

$$\Rightarrow I = \int_R e^{-ax^2} dx = \sqrt{2\pi}\sigma = \sqrt{2\pi} \sqrt{\frac{1}{2a}} = \sqrt{\frac{\pi}{a}}$$

$f_0$  频点调制

$$\begin{aligned} & \int_{-\infty}^{+\infty} \exp[-ax^2] \exp[2\pi i x f_0] \exp[-2\pi i x \xi] dx \\ &= \int_{-\infty}^{+\infty} \exp[-ax^2] \exp[-2\pi i x (\xi - f_0)] dx \\ &= \sqrt{\frac{\pi}{a}} \exp\left[-\frac{\pi^2}{a} (\xi - f_0)^2\right] \end{aligned}$$

空间旋转	频点调制	频率旋转
$\exp\left[-\frac{1}{2}\left(\frac{x'^2}{a^2} + \frac{y'^2}{b^2}\right)\right]$	$\exp[2\pi i(x' f_0 + y' f_1)]$	$\exp[-2\pi i(x' \xi' + y' \eta')]$

对课程作业要多思考

这个得看命

王老师万岁!!!